



METAHEURÍSTICA GRASP COM REFINAMENTO POR BUSCA LOCAL PARA O FLOWSHOP PERMUTACIONAL

Alberto F. K. Neto

Otimização Combinatória — INF05010 — 2019/2

1. Introdução
2. Definição do Problema
3. Método heurístico de resolução
4. Experimentos computacionais
5. Conclusões

Flowshop permutacional

- Tópico de pesquisa recorrente em Otimização Combinatória
- Grande interesse acadêmico e aplicado
- Fácil obter soluções factíveis
- Difícil de provar uma solução ótima

Sobre o trabalho desenvolvido

- Formulação inteira mista de Tseng et al. (2004)
- Solução construtiva com GRASP
- Melhoramento por Busca Local
- Comparação de desempenho

Dados do problema

- N tarefas
- M máquinas
- $T_{ri} \geq 0$ tempo de processamento ($1 \leq i \leq N$; $1 \leq r \leq M$)

Objetivo: Minimizar tempo de processamento final da máquina M

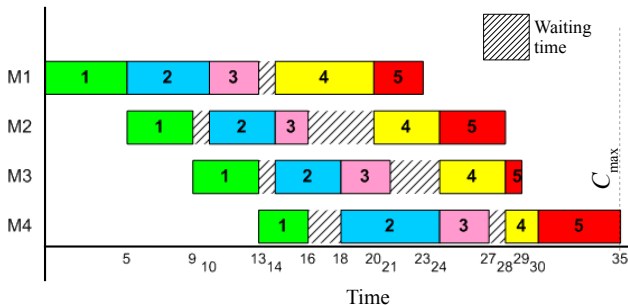
Solução: Ordem de execução das tarefas

Restrições

- Mesma ordem em todas as máquinas
- Processamento completo na máquina anterior antes de prosseguir

Exemplo de instância

- $N = 5$
- $M = 4$
- Solução de custo $z = 35$



Variáveis de decisão

- $D_{ik} \in \{0, 1\}$: Indica se a tarefa i é processada antes da tarefa k , para $1 \leq i < k \leq N$
- $C_{ri} \geq 0$: Tempo em que a tarefa i termina de ser processada na máquina r , para $1 \leq i \leq N$ e $1 \leq r \leq M$
- C_{\max} : Tempo de processamento final da última máquina

Parâmetros

- $T_{ri} \geq 0$: Tempos de processamento
- P : Valor suficientemente grande

$$\text{Minimize } C_{\max} \quad (1)$$

Sujeito a:

$$C_{1i} \geq T_{1i} \quad 1 \leq i \leq N \quad (2)$$

$$C_{ri} - C_{r-1,i} \geq T_{ri} \quad 2 \leq r \leq M, 1 \leq i \leq N \quad (3)$$

$$C_{ri} - C_{rk} + PD_{ik} \geq T_{ri} \quad 1 \leq r \leq M, 1 \leq i < k \leq N \quad (4)$$

$$C_{ri} - C_{rk} + PD_{ik} \leq P - T_{rk} \quad 1 \leq r \leq M, 1 \leq i < k \leq N \quad (5)$$

$$C_{\max} \geq C_{Mi} \quad 1 \leq i \leq N \quad (6)$$

$$C_{ri} \geq 0 \quad 1 \leq r \leq M, 1 \leq i \leq N \quad (7)$$

$$D_{ik} \in \{0, 1\} \quad 1 \leq i < k \leq N \quad (8)$$

Sobre o GRASP

- Proposto por Feo et al. (1994)
- Método construtivo guloso randomizado
- Parâmetro de randomização $\alpha \in [0, 1]$

Detalhes de implementação

- Lista com ordem de execução
- Tempos em estrutura de dados 2D
- Randomização controlada com sementes

Algorithm 1: Construção de solução inicial com GRASP.

```
1 Procedure GRASP( $N, M, T, \alpha$ )
2    $pend \leftarrow$  lista com valores  $1, 2, \dots, N$ 
3    $s \leftarrow$  lista vazia;  $z \leftarrow 0$ 
4   while  $pend$  não está vazia do
5      $RCL \leftarrow$  lista vazia
6     for  $j \in pend$  do
7        $\bar{z}_j \leftarrow$  custo da solução parcial  $s$  com adição da tarefa  $j$ 
8       adicione a tupla  $(j, \bar{z}_j)$  em  $RCL$ 
9     ordene  $RCL$  em ordem não crescente de  $\bar{z}$ 
10     $tam \leftarrow$  tamanho da lista  $RCL$ 
11     $tp \leftarrow$  escolhe aleatoriamente um índice de  $[1, \max\{1, \alpha \cdot tam\}]$ 
12    atualize a solução  $s$  e custo  $z$  com os dados da tupla  $RCL_{tp}$ 
13    remova a tarefa referente a  $tp$  de  $pend$ 
14 return  $s$ 
```

Estratégia randomizada

- Troca de duas tarefas aleatórias
- Sempre aceita uma melhora
- Busca local rápida e iterada

Algorithm 2: Algoritmo de Busca Local.

```
1 Procedure Swap2LS( $s^*$ ,  $numVezes$ )
2    $z^* \leftarrow$  custo da solução atual
3   for  $i \leftarrow 1$  até  $numVezes$  do
4     selecione tarefas  $j_1 \neq j_2$  aleatoriamente, com distribuição uniforme
5      $\bar{s} \leftarrow$  troque a ordem de processamento de  $j_1 \leftrightarrow j_2$  em  $s^*$ 
6      $\bar{z} \leftarrow$  avalie o custo da solução  $\bar{s}$ 
7     if  $\bar{z} < z^*$  then
8        $s^* \leftarrow \bar{s}$ 
9        $z^* \leftarrow \bar{z}$ 
10 return  $s^*$ 
```

Algorithm 3: Heurística GRASP com Busca Local.

```
1 Procedure GRASP_LS( $N, M, T, \alpha$ )  
2    $s \leftarrow \text{GRASP}(N, M, T, \alpha)$   
3   for  $iter \leftarrow 1$  até  $MAX\_ITER$  do  
4     Swap2LS( $s, \lceil N/100 \rceil$ )  
5     Swap2LS( $s, \lceil iter/1000 \rceil$ )  
6     Swap2LS( $s, \text{randomInt}(1, N)$ )  
7 return  $s$ 
```

Hardware e software

- Intel 3612QM @ 2.10GHz, RAM 8GB
- GLPK 4.65
- Heurística em Python 3.7.4
- Arch Linux (kernel linux-5.3.8)

Experimentos realizados

- Solver por até 1h
- Heurística por até 2140 iterações
- $\alpha \in \{0, 0.2, 0.4, 0.6, 0.8, 1.0\}$
- 10 replicações por (instância, α)

Instância	BKS	Valor relaxação	Obj. solução inteira	GAP_{BKS} (%)
VFR10_15_1	1307	880,0	1307 ¹	0,0
VFR10_10_3	1592	687,0	1873	56,9
VFR_20_20_1	2270	1391,0	2573	42,6
VFR60_5_10	3663	382,0	3878	89,3
VFR100_60_1	9395	TL	–	∞
VFR500_40_1	28548	TL	–	∞
VFR500_60_3	31125	TL	–	∞
VFR600_20_1	31433	TL	–	∞
VFR700_20_10	36417	TL	–	∞

Figura: Resultado obtido por meio do GLPK.

¹Após 1244,7 segundos de processamento.

Instância	BKS	Sol. GRASP		Sol. GRASP+BL		
		F.O.	Desvio (%)	F.O.	Desvio (%)	Tempo (seg.)
VFR10_15_1	1307	1424 \pm 0	8,95	1339, 6 \pm 18, 319	2,49	1, 5
VFR20_10_3	1592	2017 \pm 0	26,70	1687, 5 \pm 29, 304	6	2, 1
VFR20_20_1	2270	2715 \pm 0	19,60	2360, 1 \pm 33, 478	3,97	3, 9
VFR60_5_10	3663	3849 \pm 0	5,08	3668, 4 \pm 7, 291	0,15	3, 2
VFR60_10_3	3423	4357 \pm 0	27,29	3632, 6 \pm 62, 45	6,12	6, 0
VFR100_60_1	9395	11247 \pm 0	19,71	10008, 8 \pm 47, 123	6,53	57, 7
VFR500_40_1	28548	33119 \pm 0	16,01	30640, 6 \pm 67, 832	7,33	200, 4
VFR500_60_3	31125	36930 \pm 0	18,65	33539, 6 \pm 106, 966	7,76	298, 5
VFR600_20_1	31433	35473 \pm 0	12,85	32904, 4 \pm 69, 306	4,68	118, 4
VFR700_20_10	36417	40916 \pm 0	12,35	37857, 4 \pm 114, 996	3,96	140, 6

Figura: Resultados médios da heurística para $\alpha = 0$.

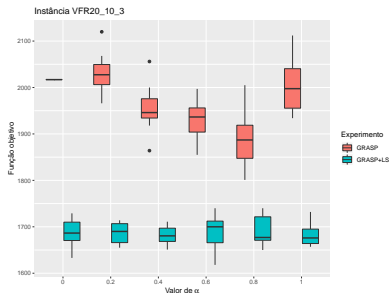
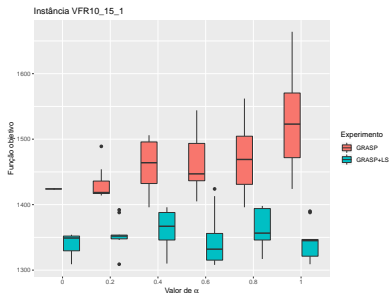


Figura: Boxplot relacionando valor médio da função objetivo para as diversas instâncias de testes, com vários valores α e 10 replicações por caso de teste.

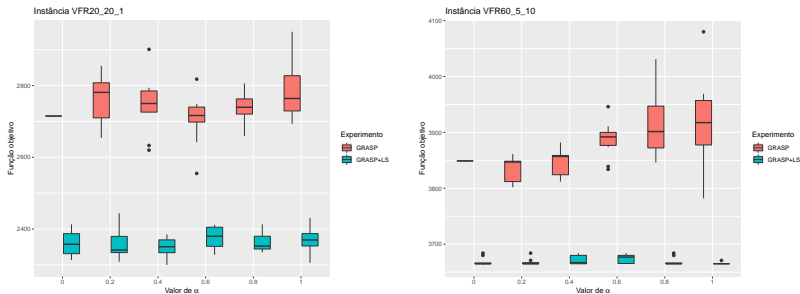


Figura: Boxplot relacionando valor médio da função objetivo para as diversas instâncias de testes, com vários valores α e 10 replicações por caso de teste.

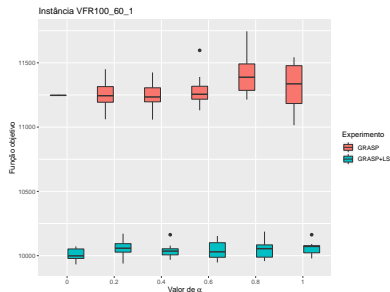
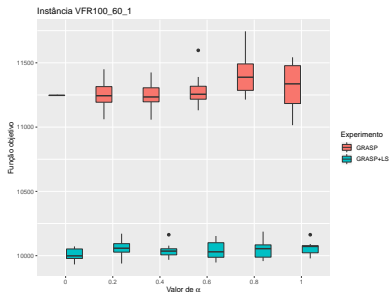


Figura: Boxplot relacionando valor médio da função objetivo para as diversas instâncias de testes, com vários valores α e 10 replicações por caso de teste.

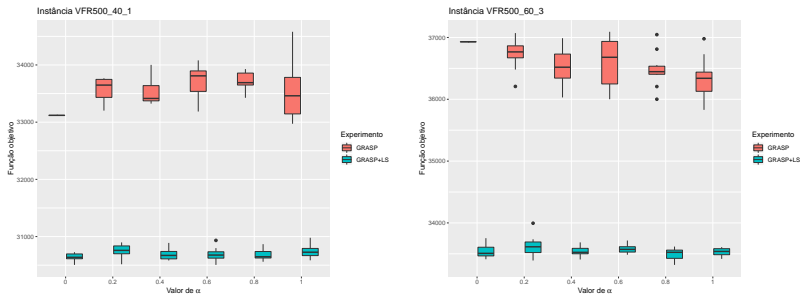


Figura: Boxplot relacionando valor médio da função objetivo para as diversas instâncias de testes, com vários valores α e 10 replicações por caso de teste.

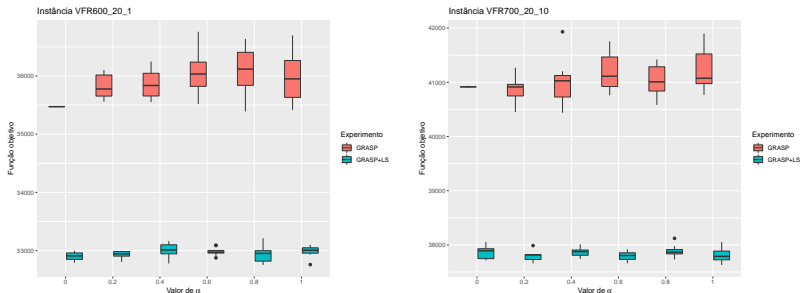


Figura: Boxplot relacionando valor médio da função objetivo para as diversas instâncias de testes, com vários valores α e 10 replicações por caso de teste.

PFSP é um problema relevante

- Abordagem exata é ineficiente
- GRASP obtém soluções iniciais rapidamente
- Randomização pouco efetiva
- Busca Local fez diferença
- Heurística foi eficaz e eficiente

Trabalhos futuros

- Cálculo mais eficiente de custo da vizinhança com Swap2LS
- Calibração dos parâmetros

Thomas A Feo, Mauricio GC Resende, and Stuart H Smith. A greedy randomized adaptive search procedure for maximum independent set. *Operations Research*, 42(5):860–878, 1994.

Fan T Tseng, Edward F Stafford Jr, and Jatinder ND Gupta. An empirical analysis of integer programming formulations for the permutation flowshop. *Omega*, 32(4):285–293, 2004.

Obrigado!

Alberto F. K. Neto

Institute of Informatics (II)

Federal University of Rio Grande do Sul (UFRGS)

`afkneto@inf.ufrgs.br`

